إستخدام تقانات التحسس النائي لتشخيص وتحديد الترب الجبسية في منطقة شرقي غمر دجلة (محافظة صلاح الدين) خالد إبراهيم مخلف* قاسم أحمد سليم* حسن حميد كاطع** الملخص

MSS المتحدمت نتائج التفسير البصري والتصنيف الرقمي غير الموجه لصور اللاندسات -2 للمتحسس ونتائج منحنيات الانعكاسية الطيفية لدراسة الترب الجبسية وظروف التربة العامة في منطقة مساحتها 2500 كم تقع على الجانب الشرقي من غير دجلة في محافظة صلاح الدين بين خطي الطول -34° 45° 45° شرق وخطي العرض (TM) -36° 34° شالا. فسرت بيانات القمر الصناعي لاندسات -3 للمتحسس ماسح الخرائط الغرضي المساعدة الحاسوب بأسلوب التصنيف الرقمي غير الموجه لفصل وتحديد أنواع الترب وظروفها. أوضحت نتيجة التحليل الرقمي وجود الأغطية الأرضية التالية: تربة ومياه وغطاء نباتي وكثبان رملية وتجمعات ملحية. كذلك أوضحت النتائج علاقة بين قيم الانعكاسية بنوعية الأراضي وخصائص التربة للآفاق السطحية. وقد أكدت نتائج الدراسة القدرة العالية لتقانات التحسس النائي وبطريقة التحليل الرقمي في مجال أعمال مسح التربة وتشخيص الترب الجبسية وتحديدها بطريقة عتزلة للزمن والكلفة من خلال التفسير البصري والرقمي والسلوك الطيفي.

المقدمة

تعد دراسة الموارد الطبيعية بأسلوب الاستشعار عن بعد فعالة ومجدية لتحديد أنواع الأغطية الأرضية ومتابعة التغيرات الدورية (14). إن تقنات الاستشعار عن بعد من الوسائل المستخدمة لدراسة الترب والمياه والتعرف على خصائصها وأماكن وجودها وجردها وإداركا (16). إن استعمال طرائق التفسير الرقمية (التفسير الآلي) والبرمجيات زاد من كفاءة هذه الوسيلة وتطبيقاتما وترسيم خرائطها الرقمية، وقد استعان Mathues (17) بطريقة التحليل الرقمي لتحديد الأصناف الطيفية وعزلها على صور Landsat-1 وبالمتحسس المتعدد الأطياف (MSS). إن استخدام برامج تحليل الصور الفضائية تمنح المفسر مجالات واسعة في مجال التحليل والتفسير والترسيم (13). لقد أكدت بعض الدراسات (8) الصور الفضائية تمييز المعالم الأرضية من الانعكاسية الطيفية لسطح الأرض وذلك لوجود علاقة تداخل بين خصائص الأرض والترب وقيم الانعكاسية. حيث أوضح لولو، Baumgardner LPRS staff ،Baumgardner لولو، 18) إن منحنيات الانعكاسية الطيفية للأغطية الأرضية هي نتاج الخصائص التكوينية والكيميائية والفيزيائية والطيفية للمواد السطحية (كالجبس ومفصولات التربة).

تنتشر الترب الجبسية في المناطق الجافة والشبه الجافة من العالم، فهي تغطي حوالي 100 مليون هكتار في الرقعة المخرافية للعالم، اكثر من 8.7 مليون هكتار منها تقع في العراق، وهي تشكل بحدود 20% من المساحة الكلية للعراق (6). إن استعمال تقنات الاستشعار عن بعد في ترسيم الترب الجبسية يرتبط بخصائص الانعكاسية لهذه الترب (7). الترب الجبسية هي من الترب ذات المواصفات والخصائص المميزة والتي يمكن من خلالها ترسيم هذه الترب كما في الترب الملحية والعدقة التي يمكن عزلها على ضوء السلوك الطيفي لمنحنياتها (5). ونظراً الى اختلاف خصائص الترب الجبسية الفيزيائية والتكوينية والشكلية، (1، 15) فان الخصائص الطيفية ومنحنيات الانعكاسية تأخذ أشكالاً وأنماطاً

^{*} الهيئة العامة للبحوث الزراعية - وزارة الزراعة - بغداد، العراق.

^{**} وزارة الموارد المائية - بغداد، العراق.

وقيماً مختلفة (3، 4). كذلك يمكن الاستعانة بالوحدات الجيومورفولوجية وتوزيع الترب حسب الموقع الجيومورفولوجي لفصل الوحدات إضافة إلى النمط والسلوك الطيفي (2). ونظرا الى كون تقنات الاستشعار عن بعد وسيلة داعمة ومساعدة للعمل الميداني الاستطلاعي والاستكشافي وليست بديلة مع توفير كم كبير من المعلومات الاستشعارية تخدم مسوح الترب لذا فان هذه الدراسة تقدف إلى تحقيق:

- 1. ترسيم الترب الجبسية بالأسلوب البصري والرقمي والاستفادة منها في مسوحات الترب.
 - 2. السلوك الطيفي للأغطية الأرضية وتحديدها حسب قيمتها الانعكاسية.
 - 3. التعرف على مصداقية المعلومات الاستشعارية مقارنة مع المعلومات الميدانية.

المواد وطرائق البحث

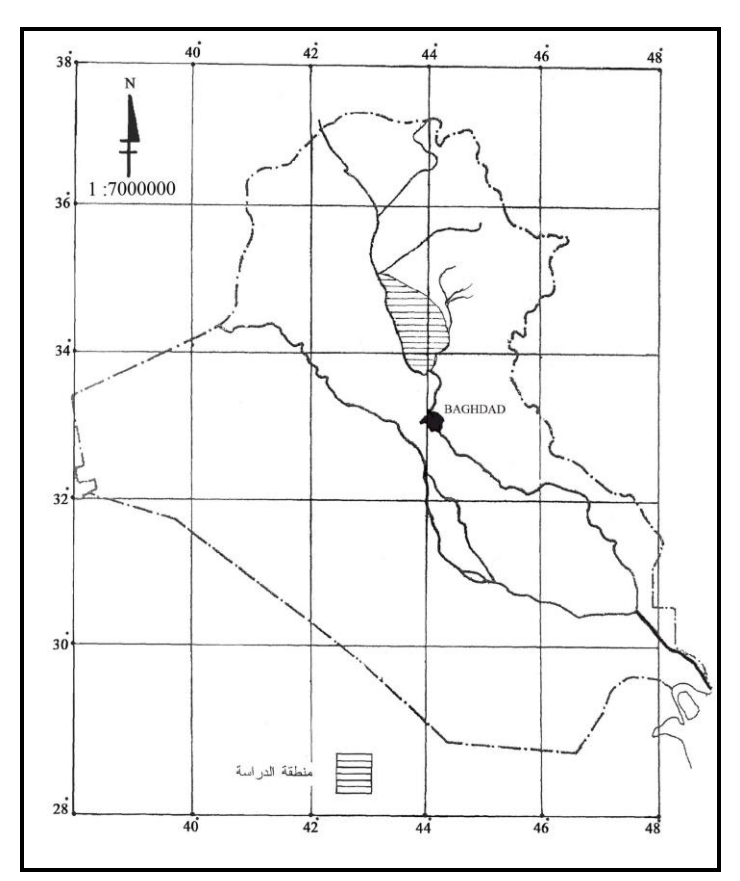
استخدمت صور فضائية للقمر Landsat-2 للمتحسس المتعدد الأطياف (MSS) وصور فضائية للقمر Landsat-6 للمتحسس الماسح الخرائط الغرضي (TM) والخاصة بدراسة الموارد الطبيعية للترب والمياه والغطاء النباتي في منطقة مختاره مساحتها 2500 كم تقع إلى الجانب الشرقي من نفر دجلة في محافظة صلاح الدين بين خطي الطول 250° 45 و 25° 45 و 25° 45 شمالاً (شكل1).

اجري التفسير البصري على صور ERDAS (12) لإجراء التصنيف الرقمي غير الموجه Landsat-6 (12) لإجراء التصنيف الرقمي غير الموجه Landsat-6 لاجراء التصنيف الرقمي غير الموجه Classification وحسب الطرائق الواردة في Lillesand وعسب الطرائق الواردة في الماطحية كافة في منطقة الدراسة المتاخمة لبحيرة شاري لغرض تحديد الأغطية الأرضية في ضوء قيم الانعكاسية وتصنيفها مع إجراء المسوح الميدانية لدراسة الوحدات التفسيرية وحسب الأصوليات الواردة في دليل مسح التربة (19) مع كشف 9 بيدونات في الوحدات المفسرة واخذ عينات للافاق السطحية وتحت السطحية لها وتحليلها محتبريا حسب الطرائق الواردة في الامريكي المحداث التوسيق المواصفات المورفولوجية والصفات الكيميائية والفيزيائية حسب التصنيف الامريكي الحديث للترب (20)، ثم إجراء مقارنة بين الحقائق الأرضية (مسوحات التربة الميدانية) وبين الوحدات التفسيرية للصور الفضائية للتعرف على دقة التفسير.

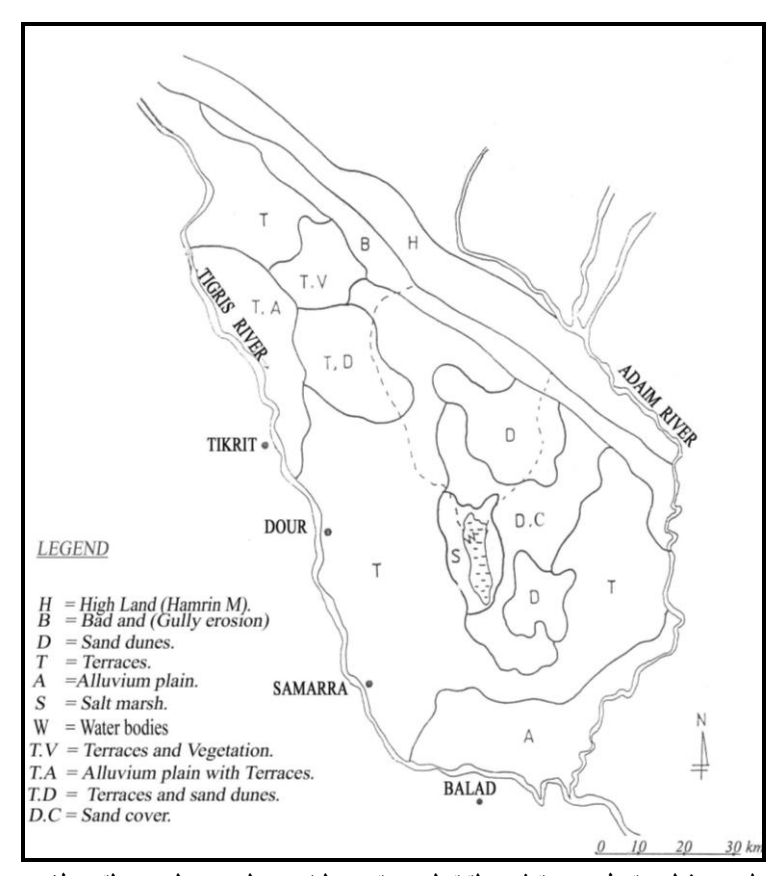
النتائج والمناقشة

التفسير البصري

تشير نتائج التفسير البصري لصور القمر Verstappen و Werstappen المتعدد الأطياف (MSS) وبأسلوب تحليل العناصر والتحليل الجيومورفولوجي وحسب Verstappen وWerstappen الى تشخيص 10 وحدات تفسيرية (شكل 2 وجدول 1)، حيث تم تمييز وفصل الظواهر السطحية ذات العلاقة بوحدات شكل الأرض والتي لها علاقة بالأشكال التركيبية والترسيبية والحسية التي ترتبط بأهداف البحث. وكذلك الاعتماد على التوقيع الطيفي والشكل والحجم والتوزيع والنمط والنسجة والموقع والانحدار مع الاعتماد على بعض الخرائط المرجعية التي تخدم دقة التفسير واكدت النتائج على وجود حالات تداخل لبعض الوحدات نتيجة لتقارب القيم الطيفية للعوامل المؤثرة في منطقة الدراسة.



شكل 1: خارطة موقعية للمنطقة التي قيد الدراسة.



شكل 2: الوحدات الجيومروفولوجية المشخصة في منطقة الدراسة من التفسير البصري لصور القمر لاندسات -2- لمتحسس MSS.

س (MSS) Landsat-2	, صور المتحسب	ية المشخصة في	التفسيرية البصر	مساحات الوحدات ا	جدول 1: نسب و
-------------------	---------------	---------------	-----------------	------------------	---------------

المساحة (هكتار) مقربة نظريا	%	الوحدة الجيومورفولوجية	Symbol	الوحدات التفسيرية
20000	8	High land سلسلة جبال حمرين	Н	1
17500	7	Bad land اراضٍ متعرية	В	2
120000	48	Terraces مدرجات نحرية	T	3
32500	13	Sand dunes کثبان رملية	D	4
17500	7	Alluvium plain سهل رسويي	A	5
5000	2	Salt marsh تجمعات ملحية رطبة	S	6
2500	1	Water bodies اجسام مائية ملحية	W	7
25000	10	Sand cover صفائح واغطية رملية	D.C	8
5000	2	Terraces with Alluvium مدرجات متداخلة مع السهل الوسويي	T.A	9
5000	2	Terraces with sand dunes مدرجات مع اغطية رملية	T.D	10

تم عزل الوحدات في ضوء المواصفات الفوتومترية Photomorphic Properties وبعد مقارنتها بالخرائط الجيومورفولوجية والطبوغرافية، تم فصلها ووضع حدودها وحساب مساحاتما ونسبها. وقد أظهرت وحدة المدرجات النهرية (T) سيادة واضحة وتلتها المناطق المتأثرة بالكثبان الرملية (D) والصفائح الرملية (D.C) كما هي موضحة في الجدول (1). حيث أظهرت النتائج وجود سبع وحدات جيومورفولوجية رئيسة وثلاث وحدات مترافقة (متداخلة) association. وقد أبدت مناطق المدرجات النهرية العليا (المتوكل) صفات مورفومترية مميزة ذات علاقة بخصائص الترب الجبسية والتي اعتمدت في عملية التحديد والترسيم ومن خلال عزل النمط المتجانس والصرف المعدوم واللون الرمادي الفاتح والطوبوغرافية والوحدة الجيومورفولوجية (T) وغط الزراعة على شكل بقع (Spots) على مساحات محددة.

فسرت بيانات القمر الصناعي 6- Landsat للمتحسس TM باستخدام طريقة التصنيف غير الموجه وبالاستعانة ببرنامج تحليل الصور الفضائية ERDAS، تم الحصول على أنماط طيفية متعددة نتيجة لعدم تجانس منطقة الدراسة. وقد دمجت بعض الوحدات المتقاربة في السلوك الطيفي واعتبرت وحدات مترافقة مع بعضها وقد حددت هوية الأصناف الطيفية قبل المقارنة الميدانية في ضوء قيم الانعكاسية لكل صنف والتي ارتبطت بظروف الموقع وخصائصه المعدنية والتركيبية وخصائص السطح ونوع التربة وقد اشارت نتائج التفسير الى وجود احدى عشرة وحدة تفسيرية والجدول (2) يوضح الأصناف الطيفية وقيم الانعكاسية.

يوضح الجدول (2) وجود سبع وحدات رئيسة وأربع وحدات مترافقة. وتشير النتائج الى وجود تباين في انعكاسية الوحدات المشخصة نتيجة لاختلاف الصفات المورفولوجية والكيميائية والفيزيائية والتركيبية لطبيعة الأغطية الأرضية السائدة. وقد أبدت الترب الجبسية (المدرجات النهرية) وتليها الكثبان الرملية أعلى قيم للانعكاسية مقارنة بالأغطية الأرضية الموجودة في منطقة الدراسة في حين أبدت المياه والغطاء الخضري والتجمعات الملحية الرطبة قيم انعكاسية منخفضة نتيجة لامتصاص الأطوال الموجية 2 و 3 للمتحسس TM. وقد أظهرت الخارطة التفسيرية (شكل 3)

للمتحسس ماسح الخرائط الغرضي (TM) توزيع الأغطية الأرضية وتداخلها في بعض المواقع من خلال تداخل الاستجابة الطيفية لأكثر من صنف طبيعي.

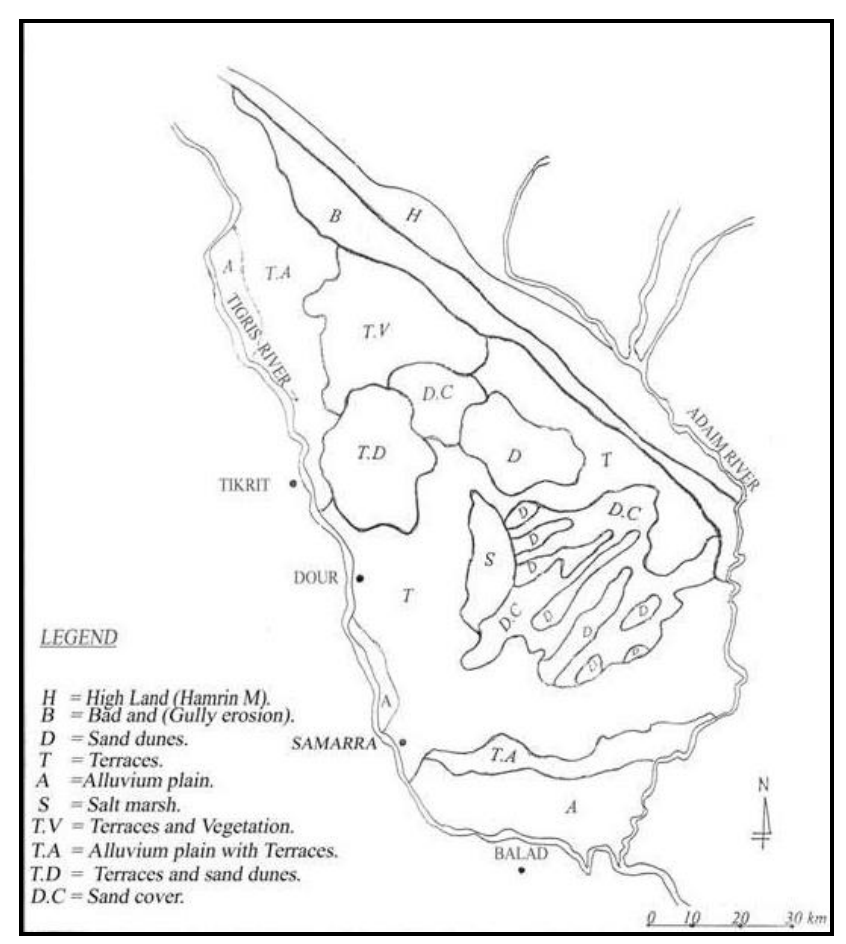
جدول 2: نسب وقيم الانعكاسية للأصناف الطيفية المستحصلة من التفسير الرقمي لصور Landsat -6 بالمتحسس TM3 بالمتحسس TM3 والمأخوذة في تموز 1992 وبالحزم الطيفية (TM3)

المساحة بالهكتار	%	لون الوحدة	قيم الانعكاسية (%)	الوحدة الجيومورفولوجية	رمز الوحدة	No
18750	7.5	رمادي	35-40	سلسلة جبال حمرين	Н	1
20000	8.0	رمادي الى بنفسجي فاتح	45-50	اراضٍ متعرية	В	2
25000	10	بنفسجي غامق	65-70	كثبان رملية	D	3
105000	42	بنفسجي فاتح	80-85	مدرجات نخرية	Т	4
15000	6	اسود غامق	30-35	سهل رسويي	A	5
1750	0.7	ازرق فاتح	20-25	تجمعات ملحية رطبة	S	6
2000	0.8	ازرق غامق	15-20	اجسام مائية ملحية	W	7
20000	8	بنفسجي مخضر فاتح	60-65	صفائح واغطية رملية	D.C	8
12500	5	بنفسجي غامق مخضر	50-55	مدرجات ذات زراعة متفرقة	T.V	9
17500	7	رمادي مخضر	40-45	مدرجات متداخلة مع السهل الرسوبي	T.A	10
12500	5	بنفسجي الى رمادي	70-75	مدرجات مع اغطية رملية	T.D	11

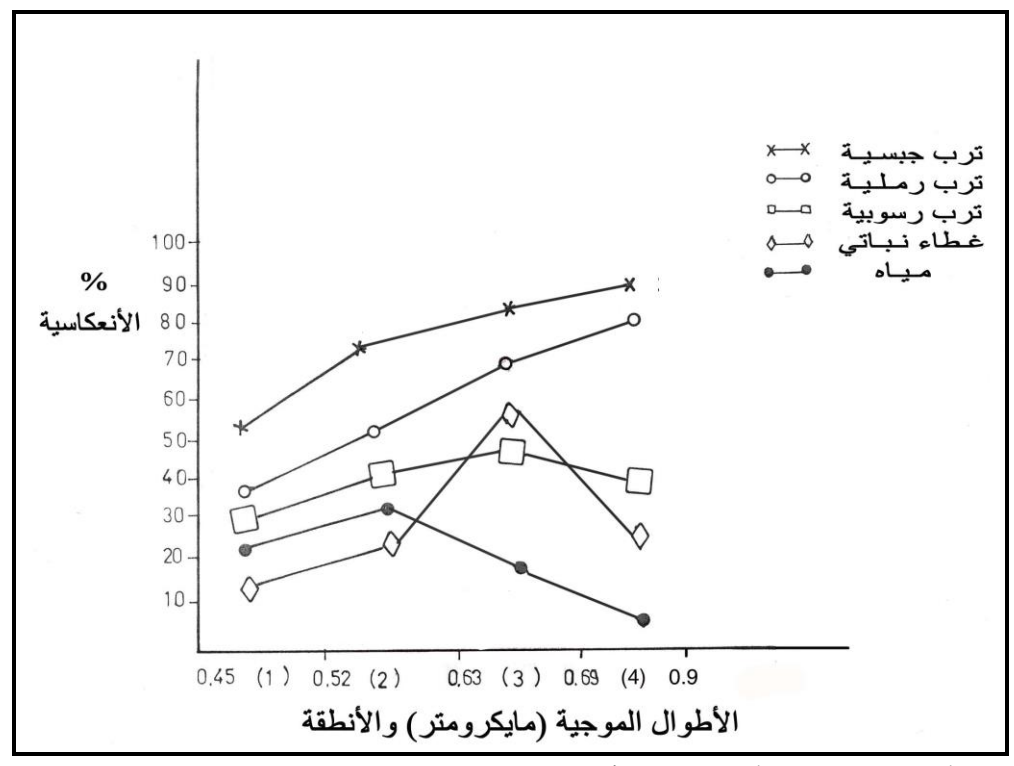
كشفت نتائج التفسير الرقمي باستخدام التصنيف غير الموجه عن زيادة عدد الأصناف الطيفية ذلك لأن هذا التصنيف يعتمد كل البصمات الطيفية مع تداخلاها ولكننا حاولنا تجميع قيم الانعكاسية المتقاربة إلى وحدات طيفية ارتبطت مع توزيع الوحدات الجيومورفولوجية وقد تأثرت قيم الانعكاسية بنوع التربة وخصائص السطح وكثافة الغطاء النباتي والتركيب المعدني ورطوبة سطح التربة.

منحنيات الانعكاسية

يوضح الشكل (4) منحنى الانعكاسية الطيفية للأغطية الارضية الرئيسة في منطقة الدراسة للقنوات 1، 2، 3 و TM . ويلاحظ ان انعكاسية النباتات قد تأثرت بانعكاسية التربة الخيطة بما بصورة كبيرة، كما إن ترب المنطقة تختلف في عكس وامتصاص الطاقة الساقطة عليها. وإن انعكاسية الترب تزداد بصورة تدريجية وليست مفاجئة كما في النبات. وتشير النتائج الى وجود اختلاف في قيم الانعكاسية بين ترب المنطقة وللأطوال الموجية المستخدمة نتيجة لاختلاف تركيبها المعدني ونسجتها ومحتواها الرطوبي وبعض الخصائص الكيميائية والفيزيائية. ويلاحظ إن الترب الجبسية يمكن فصلها وعزلها بسهولة من خلال قيم الانعكاسية العالية مقارنة مع الترب الأخرى. في حين اظهر الغطاء المائي اقل قيم للانعكاسية وذلك لزيادة قابليته على امتصاص الأشعة الساقطة عليه. وفي ضوء مخططات الانعكاسية الطيفية فأنه بالإمكان التمييز بين أنواع الظواهر عن طريق عزلها طيفيا وتحديد موقعها على طول امتداد الطيف الكهرومغناطيسي وهذا ما يعرف بالاستجابة الطيفية أو الانطباع الطيفي.



شكل 3: توزيع الوحدات التفسيرية المشخصة من خلال التفسير البصري – التصنيف غير الموجه – لصور القمر لاندسات -2- لمتحسس TM.



شكل 4: منحنيات الانعكاسية الطيفية للأغطية الارضية الرئيسة بالقنوات 1، 2، 3 و 4 للمتحسس TM.

العمل الميداني (مسوحات التربة)

تم كشف تسعة بيدونات تربة موزعة على الوحدات الرئيسة المشخصة وحللت النماذج الترابية ووصفت المقدات مورفولوجيا لتحديد أصناف الترب في الوحدات الجيومورفولوجية المفسرة بصريا والوحدات الطيفية المفسرة رقميا لغرض مقارنتها مع العمل الميداني لتأكيد صحة الوحدات البصرية مع الوحدات الأرضية.

ويلاحظ من الجدول (3) وجود اختلاف في الصفات الكيميائية و الفيزيائية للآفاق السطحية (20-0) سم لجميع البيدونات ثما ينعكس على الاستجابة الطيفية وبالتالي اختلاف قيم الانعكاسية وأشكال المنحنيات الطيفية لأنواع الترب والغطاء الأرضي. لقد أكد العمل الميداني في دقة وصحة الحدود المرسومة في ضوء السلوك الطيفي (الأصناف الطيفية) وارتباطها مع الوحدات الجيومورفولوجية وطبيعة تكوينها وخصائص سطحها وبذلك عبرت الانعكاسية الطيفية وأنماطها عن إمكانية عزل وفصل وترسيم أنواع الترب والأغطية الأرضية ومنها الترب الجبسية في ضوء التباين في البصمة الطيفية وقيم الانعكاسية (3).

جدول 3: تصنيف التربة وبعض صفات الطبقة السطحية للوحدات الجيومورفولوجية في منطقة الدراسة

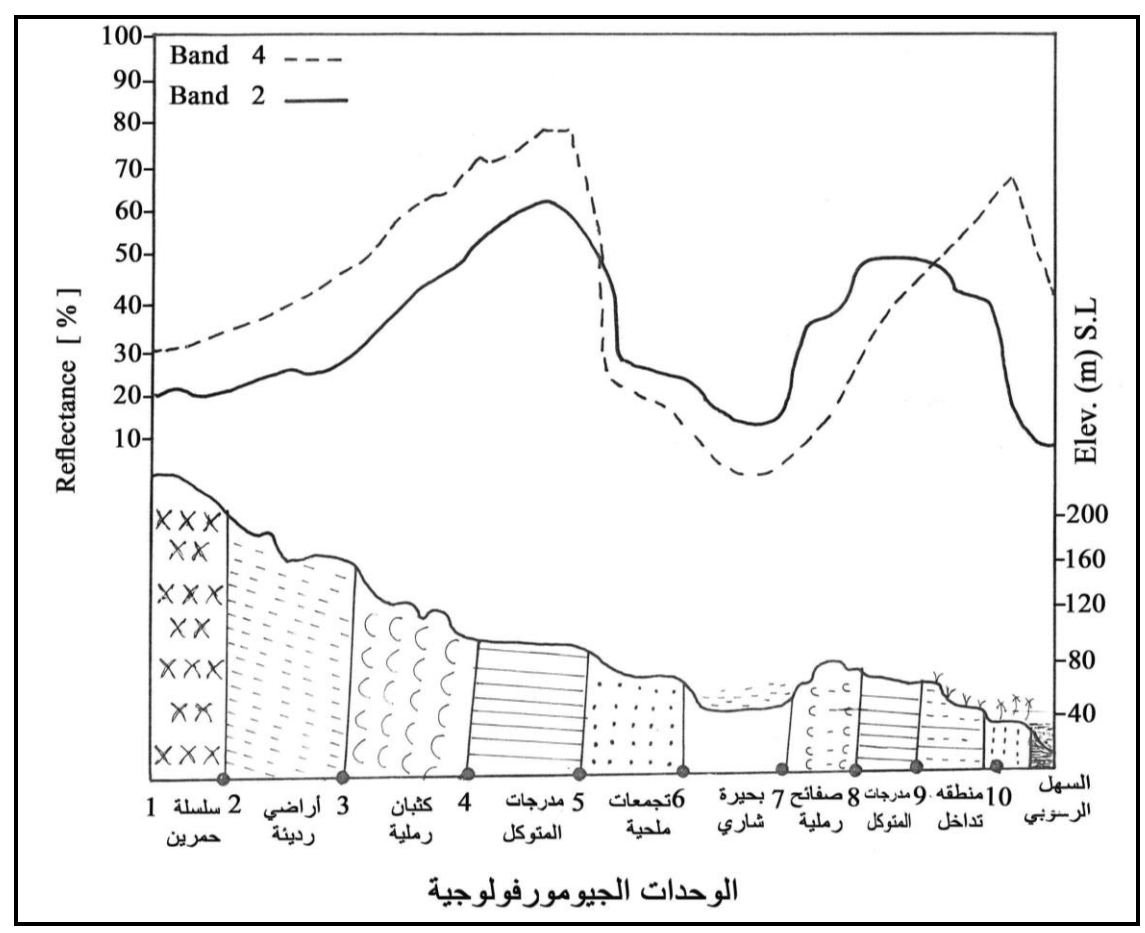
تصنيف التربة	الملوحة ds/m	النسجة*	الكلس %	الجبس %	رقم لبيدون	الوحدات الجيومورفولوجية
Rocky land	1-4	LS	18	1.5	P ₁	جبال حمرین (H)
Lithic and Typic Torriorthents	2.4	SiL	20	2.2	P ₂	الأراضي المتعرية (B)
Typic Torripsamments	2.8	SL	18	3.1	P 3	کثبان رملية (D)
Lithic and Leptic Haplogypsids	3.2	SL-L	14	18.0	P ₄	مدرجات نموية (T)
Typic Torrifluvents	4.8	SiL-CL	25	1.2	P ₅	سهل رسويي (A)
Gypsic and Typic Haplosalids	140	SCL	17	4.2	P ₆	مستنقعات ملحية (S)
Lithic Torripsamments	3.0	LS	16	3.8	P 7	أغطية رملية (D.C)
Typic Haplogypsids	4.6	L	15	12.0	P8	مدرجات مزروعة (T.V)
Lithic Torriorthents	4.0	SCL	19	8.0	P ₉	مدرجات متداخلة مع السهل الرسويي (T.A)
-	60		1	1	P ₁₀	أجسام مائية (W)

^{*} S=Sand , Si=Silt , L=Loam , C=Clay

ويبين الجدول (4) العلاقة بين نتائج تفسير البيانات الفضائية مع المقاطع الطوبوغرافية والسلوك الطيفي للقنوات 2 و4 للمتحسس TM حيث ربطت قيم الانعكاسية مع الوحدات الجيومورفولوجية والارتفاع، وكما هو موضح في الشكل (5)، وبحسب هذه العلاقة أظهرت الوحدات الأرضية قيماً انعكاسية مختلفة حسب الطول ألموجي وحسب نوع الوحدة الجيومورفولوجية. وقد ابدت ترب المدرجات النهرية أعلى القيم في حين أبدت بحيرة شاري اقل القيم وبذلك عكس المنحني الطيفي طبيعة التكوينات الجيومورفولوجية وخصائصها السطحية والتي رسمت إلى وحدات خارطة وترجمت إلى وحدات تربة بعد تعيين بيدونات التربة ووصفها وتحليل نماذجها.

جدول 4: معدل قيم الانعكاسية للأغطية الارضية المشخصة وللقنوات 2 و4 للمتحسس TM للقمر الصناعي Landsat-6

معدل الانعكاسية TM4	معدل الانعكاسية TM ₂	الوحدة التفسيرية الجيومورفولوجية	الموقع
34	30	جبال حمرين (H)	1
47	42	الأراضي المتعرية (B)	2
69	59	کثبان رملیة (D)	3
86	78	مدرجات نحرية (T)	4
36	28	سهل رسویي $({f A})$	5
24	19	(${f S})$ مستنقعات ملحية رطبة	6
60	50	$(\mathbf{D.C})$ أغطية وصفائح رملية	7
58	48	مدرجات مزروعة (T.V)	8
44	38	مدرجات متداخلة مع السهل الرسويي (T.A)	9
15	20	أجسام مائية (W)	10



شكل 5: البيانات الفضائية للقنوات 2 و4 للمتحسس TM مع المقطع الطوبوغرافي الارضى

نستنتج مما سبق:

أكدت نتائج الدراسة إمكانية استخدام تقنيات الاستشعار عن بعد في تحديد وترسيم الأغطية الأرضية بأنواعها كافة وذلك من خلال التفسير البصري والرقمي وقيم الانعكاسية وعلاقتها بخصائص الأرض والتي أثبتت مصداقيتها ودقة حدودها بعد إجراء العمل الميداني. إن استعمال طرائق وأساليب متعددة للرؤية أكد إمكانية تحديد الظروف

الجيومورفولوجية والبيدولوجية مع الحصول على مجموعة وفيرة من البيانات الرقمية التي يمكن التعامل معها لقيم وتشخيص طبيعة المنطقة. لقد أوضحت منحنيات الانعكاسية والتصنيف الرقمي بأنها ذات صلة وثيقة بالخصائص السطحية للأرض وتمييز الأغطية الأرضية وتحديدها بدقة وتقليل الجهد والزمن والكلفة الخاصة بالإعمال الميدانية.

المصادر

- 1- الجنابي، علاء صالح؛ معتصم داود اغا وهاشم محمود حسن (1989). الخصائص الفيزيائية لبعض الـترب الجبسية في العراق. المؤتمر العلمي الخامس لمجلس البحث العلمي (علوم التربة /القسم الأول). 7-11 تشوين الأول، بغداد، العراق.
- 2- كاطع، حسن حميد واحمد صالح محيميد (2002). العلاقة بين الوحدات الجيومورفولوجية وتوزيع وحدات الترب في منطقة غرب بحيرة الرزازة، المجلة العراقية لعلوم التربة، 1(2): 129-140.
- 3- كاطع، حسن حميد؛ احمد صالح محيميد وقاسم محمود السعدي (2002a). أساليب دراسة الانعكاسات لبعض المناطق الصحواوية في العراق. مجلة العلوم الزراعية العراقية، 33(6)37-44.
- -4 كاطع، حسن حميد؛ احمد صالح محيميد وقاسم محمود السعدي (2002 b). استخدام النظام الرقمي للبيانات الفضائية في أعمال مسوح الترب في المناطق الجافة من العراق. المجلة العلمية. كلية الزراعة جامعة القاهرة، الموتمر الثاني للتقنيات الحديثة في الزراعة، 28-30 أكتوبر.
- 5- لولو، عبد الرحيم (1994). استخدام تقنيات الاستشعار عن بعد في مسح وتصنيف الترب في سوريا. مجلة الاستشعار عن بعد دمشق، جمهورية سوريا العربية.
- 6- سليم، قاسم أحمد (2001). تأثير نوعية ماء الري وطريقة اضافته في صفات الترب الجبسية لمنطقة الدور.
 اطروحة دكتوراة كلية الزراعة جامعة بغداد، العراق.
 - 7- Al-Mahawili, S. M. H. (1983). Satellite image interpretation and laboratory spectral measurements of saline and gypsiferous soil of west Baghdad. MSc thesis, Purdue University. USA.
- 8- Barzanji, A. F. (1973). Gypsiferous soils of Iraq. Ph.D Thesis, University of Gent, Belgium.
- 9- Baumgardner, M. F. (1982). Spectral properties of soils. Annual report Purdue University, west Lafayette-Indiana, USA.
- 10- Baumgardner M. F. and the LPRS staff (1980). Extension to Laboratory measured soil spectral to field condition. Soil Sci. Soc. Am. J., 44:1161-1165e.
- 11- Black, C. A. (1965). Methods of soils analysis. Amer. Soc. Agron. (9) parts 2. Madson, Wisconsin, USA.
- 12- ERDAS. (1995). Users guide for PC and PC Kit Users.8.2 edition Erdas INC. Atlanta MG.A.
- 13- ESA. (1994). Earth Observation Quartet. Pub. Division ESTEC. noord wijk (45), sept.44.
- 14- FAO. (1982). Application of Remote Sensing. Land Resource (6), Rome.
- 15- FAO. (1990). Use of high resolution Satellite data and GIS for soil Erosion mapping. pilot study in Brazil (RSC) Rome.
- 16- Lillesand, T. M. and R. W. Kiefer (2000). Remote Sensing and Image Interpretation, 4th. John Wiley and Sons Inc. USA.
- 17- Mathues, H. R.; R. L. Cunning ham and G.W Paterson (1973). Application of multi spectral remote Sensing to-Soil Survey research in southeastern Pennsylvania soil sci. soc. Am., 37:88-93e.
- 18- Mulder, M. A. (1986). Remote Sensing in Soil Science. Agriculture University of Wageningen.
- 19- Soil Surrey Staff (1993). Soil Survey Manual. USDA Handbook (18).

- 20- Soil Surrey Staff (1999). Soil Taxonomy. USDA Handbook (436). 2nd. ed. Washington. D.C.
- 21- Verstappen, H. (1977). The Remote Sensing in Geomorphology. Elsevier Sientific pub. Amsterdam.
- 22- Zuidam, R. A. (1979). Terrain analysis and classification Using Aerial Photograph. Ageomorphological Approach. I. T. C Textbook of Photo Interpretation. 5, Chapter 6.

APPLICATION OF REMOTE SENSING TECHNIQUES FOR IDENTIFICATION AND DELINEATION OF GYPSIFEROUS SOILS FOR EAST TIGRES AREA (SALAHADDIN GOV.)

K. I. Mukhlef *

K. A. Saliem *

H. H. Gatee **

ABSTRACT

Visual Interpretation of Landsat-2- MSS and spectral reflectance curves, with digital unsupervised classification techniques were used to study the gypsiferous soils, other soils and soil conditions at Salahaddin governorate with an area about 2500 km² situated between 34° 35⁻ – 34° 25⁻ N and 44° 10⁻ - 43° 45⁻ E. Thematic mapper (TM) data from Landsat-6 were analyzed by computer assisted of unsupervised classification. The results indicated that application of remote sensing technology to delineation of soil types and conditions was feasible quick timely and accurate. The results of digital classification indicate the presence of the following land covers: Water bodies, soils, vegetations, sand dune and salts accumulation. The results of reflectance showed the relation between land quality and soil properties of the surface horizons and reflectance data. This study showed a high capability of using remote sensing (digital analysis) in soil survey to identify gypsiferous soil and delineation with reduces time and cost.

^{*} State Board for Agric. Res., Ministry of Agric., Baghdad, Iraq.

^{**} Ministry of Water Resources, Baghdad, Iraq.